

2. Зависимость скорости отступания берегов с различным литологическим строением от порядка рек имеет одинаковый вид при использовании различных исходных материалов: скорость отступания суглинистых берегов меньше и не меняется при увеличении порядка рек, скорость отступания песчаных берегов возрастает с увеличением порядка реки.

3. Значения скоростей отступания берега меньше у адаптированных излучин, чем у свободных излучин на реках одного порядка.

4. Для свободных излучин в песчаных берегах связь $C = f(N)$ имеет экспоненциальный характер; использование данных по рекам бассейнов верхней Волги и верхнего Дона позволило уточнить ее для различных уклонов.

Таким образом, анализ результатов, полученных из двух различных источников, показал, что вид зависимостей $C = f(N)$ в большинстве случаев одинаков, хотя параметры уравнений различаются. Это может объясняться как различными природными условиями рассматриваемых бассейнов, так и степенью осреднения исходного материала.

СПИСОК ЛИТЕРАТУРЫ

1. Чалов Р.С. Типы русловых процессов и принципы морфодинамической классификации речных русел // Геоморфология. 1996. № 1. С. 26–36.
2. Алабян А.М., Глазырина П.В. Разработка и использование информационной системы для анализа русловых процессов // Вестн. МГУ. Сер. 5. География. 1996. № 5. С. 12–19.
3. Морфология и динамика русел рек европейской части России и сопредельных государств. М-б 1 : 2000000. М.: Федер. служба геод. и картогр., 1999. 4 листа.
4. Шайдеггер А. Теоретическая геоморфология. М.: Прогресс, 1964. 452 с.
5. Алексеевский Н.И. Гряды и их влияние на условия судоходства // Современное состояние водных путей и проблемы русловых процессов. М.: Изд-во МГУ, 1999. С. 61–68.
6. Камалова Е.В. Географические закономерности процессов разрушения берегов на малых и средних реках бассейнов Волги и верхнего Дона: Автореф. дис. ...канд. геогр. наук. М.: МГУ, 1988. 22 с.

Московский государственный университет
Географический факультет

Поступила в редакцию
15.12.2000

LATERAL CHANNEL DEFORMATIONS AND THEIR RELATION TO RIVERS ORDER

О.М. РАКНОМОВА

S u m m a r y

The correlation between bank recession (mean-maximum and relative) and river order according to A. Scheidegger is analyzed. Author considers different channel types, stream gradients, lithology and shore cutting mechanisms.

УДК 551.435.1:551.435.5(235.222)

© 2002 г. С.А. СЫЧЕВА

РЕКОНСТРУКЦИЯ ЭТАПОВ РАЗВИТИЯ МИКУЛИНСКОГО ПАЛЕОСКЛОНА

(бассейн верхнего Дона)

В строении погребенных поверхностей сохраняются следы эволюционных изменений ландшафтов [1, 2]. Нами был изучен московско-микулинско-валдайский долинно-балочный склон, имеющий иное простиранье по сравнению с современным. Цель статьи – восстановить его историю развития и выявить влияние на современный рельеф и почвенный покров северной лесостепи.

Бассейн Непрядвы – правого притока верхнего Дона приурочен к северным склонам Среднерусской возвышенности. Здесь хорошо развита балочная сеть, сформированная в последний эрозионный цикл и частично унаследованная от предыдущего климатического цикла

"московское оледенение – микулинское межледниковые" [3–5]. Этот цикл, в силу своей завершенности, может служить моделью незаконченного поздневалдайско-голоценового эрозионного цикла и использоваться для реконструкции развития современных ландшафтов как в прошлом, так и для выявления трендов их эволюции в будущем.

Песчаный карьер у с. Монастырщина Тульской обл. расположен на высоте 163–165 м от уровня моря на сниженной поверхности III надпойменной террасы. Терраса уступом высотой 6–8 м отделяется от расположенной южнее высокой левобережной поймы приусьевой части р. Непрядвы. Вследствие сложного строения четвертичных отложений, вскрываемых в карьере, была применена разработанная нами методика изучения малых погребенных эрозионных форм [6]. В результате был реконструирован фрагмент древней депрессии. Он был изучен по профилю (разрезы 1–6), соответствующему склону северо-западной экспозиции (рис. 1).

В разрезе 1–95(6), заложенном в днище карьера, вскрываются наиболее древние отложения – ярко-бурые, ржавые и сизые пески с прослойками глин, в верхней части нарушенные криогенными деформациями – складками размером 1–2 м (слой 9). Это перигляциальный аллювий III–IV надпойменных террас. Выше залегают грубозернистые пески красно-ржавого цвета, с гравием и галькой местных меловых и дальнепринесенных кристаллических пород, мощностью 0,5–0,8 м (слой 8). Они, по-видимому, образованы за счет переработки склоновыми процессами днепровских флювиогляциальных отложений. Кверху они переходят в слабо сортированные, более глинистые пески (супеси) – склоновые отложения (слой 7). Слои 8 и 7 образуют изменяющиеся закономерно по вертикали и латерали фации перигляциальных склоновых отложений, шлейфом спускающихся в долину и перекрывающих аллювиальные пески [7].

Слои 9–7 прослеживаются по всем стенкам карьера. Строение вышележащих отложений значительно варьирует в пространстве. Отмечаются неоднократные пропуски слоев вследствие эрозионных размывов, следы криогенных нарушений. Поэтому приводим подробные описания отложений в разрезах, расположенных по древнему склону, от его более высокой части к сниженной.

Разрез 1–95(1)

Слой 1 (0–40 см). Современная почва – эродированный чернозем с гор. А1 и В.

Слой 2 (40–80 см). Поздневалдайский лесс, преобразованный голоценовым почвообразованием, в гор. Вса. Суглинок буревато-палевый лессовидный с карбонатным псевдомицелием и журавчиками по трещинам, перерыт ходами землероев.

Слой 3. Брянская ископаемая почва¹. А1 (80–100 см). Суглинок серовато-светло-коричневый, плотный, неоднородный, средний опесчаненный с включением грубозернистого песка (почвенными процессами проработана часть нижележащего слоя 7). Переход резкий по цвету, гранулометрическому составу.

Слой 7 (100–125 см). Балочно-склоновые отложения. Песок глинистый (супесь), желтовато-палевого цвета с мелкими карбонатными конкрециями. Содержит небольшое количество гравия и гальки. Переход резкий по цвету, гранулометрическому составу, размерам включений.

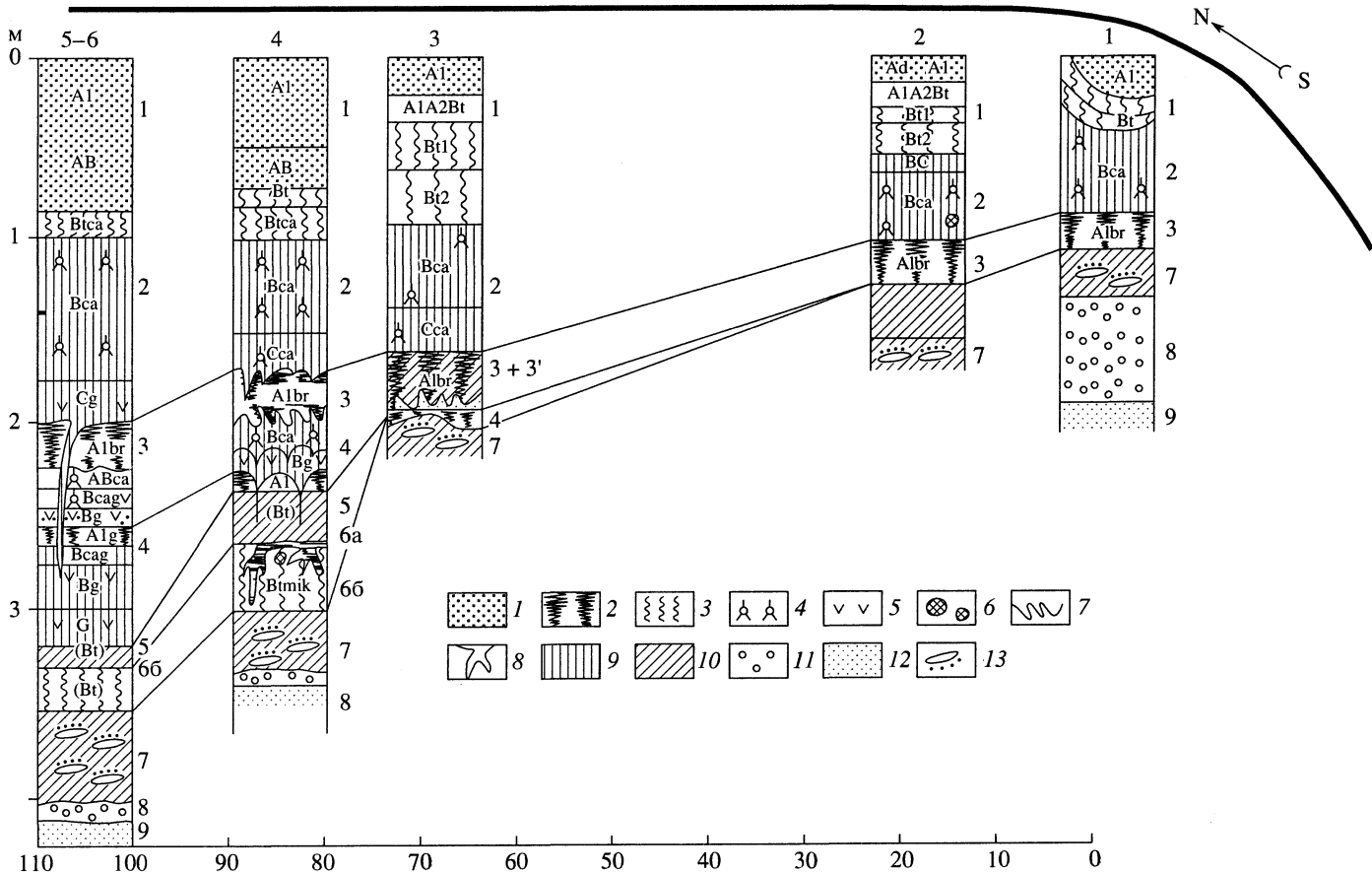
Слой 8 (125–185 см). Флювиогляциально-склоновые отложения. Песок грубозернистый, красно-ржавый, неоднородный по цвету и гранулометрическому составу. Содержит крупные марганцовистые конкреции темно-вишневого цвета, линзы бурого окамененного песка и включения гальки, гравия местных, реже кристаллических пород, дресвы, известняка. Переход резкий по цвету и гранулометрическому составу.

Слой 9 (вскрыта мощность 1,5 м). Перигляциальный аллювий – тонко- и среднезернистые пески с прослойками светло-серой и сизой глины, в верхней части смят в крупные складки.

Рис. 1. Строение четвертичных отложений в карьере у с. Монастырщина

Почвенные горизонты: 1 – гумусовые голоценовые, 2 – гумусовые позднеплейстоценовые, 3 – иллювиально-глинистые, 4 – карбонатные и карбонатные новообразования; 5 – признаки оглесения, 6 – кротовины, 7 – солифлюкционные складки, 8 – криогенные трещины, 9 – лессовидный суглинок, 10 – супесь, 11 – грубозернистый песок с гравием (базальный горизонт), 12 – песок, 13 – линзовидная слоистость. Справа от колонок номера слоев

¹ Название стратиграфических слоев дается согласно схеме А.А. Величко с соавторами [8].



Разрез 1–95(2)

Слой 1 (0–57 см). Серая лесная почва с горизонтами: A1 (0–13 см) – A1A2Bt (13–25 см) – Bt1, Bt2, BC (25–57 см).

Слой 2 (57–93 см). Поздневалдайский лесс того же облика, что и в предыдущем разрезе. Переход резкий по цвету и гранулометрическому составу.

Слой 3 (93–148 см). Брянская испокаемая почва (br) с профилем A1–B–Вса. Суглинок серовато-коричневый, опесчаниненный, плотный, мелкопористый, бесструктурный. Содержит включения гальки, гравия местных и эрратических пород. Горизонты выделены по небольшим изменениям в окраске, гумусированности и количестве карбонатов. Книзу увеличивается содержание гальки и крупных зерен песка. Переход резкий по цвету и гранулометрическому составу.

Слой 7. Склоново-балочные отложения.

Разрез 1–95(3)

Слой 1 (0–89 см). Современная почва – темно-серая лесная: A1 (0–20 см) – A1A2Bt (20–34 см) – Bt (34–89 см).

Слой 2. Вса (89–134 см), Cca (134–159 см). Суглинок легкий, опесчаниненный, сизовато-палевый, с редкими карбонатными трубочками по порам. Переход заметный по гранулометрическому составу и цвету.

Слой 3¹ (159–179 см). Солифлюксий. Суглинок опесчаниненный с большим количеством Mn-примазок, ортштейнов и пылеватых карбонатов по солифлюкционным субгоризонтальным складкам. Переход резкий.

Слой 3 (179–199 см). Брянская испокаемая почва: A1 (179–189 см) – суглинок тяжелый светло-коричневый, неоднородный за счет сизых и бурых пятен, смят в складки; Вса (189–199 см) – суглинок темно-палевый, насыщен пылеватыми карбонатами, граница трещиноватая.

Слой 4 (199–211 см). Остатки более древней, чем брянская, испокаемой почвы, названной нами монастырской – пятна гумусированного суглинка, залегающие в солифлюкционно-делювиальном суглинке.

Слой 7. Склоново-балочные отложения.

Разрез 1–95(4)

Слой 1 (0–100 см). Современная почва – выщелоченный чернозем: A1 (0–50 см) – AB (50–70 см) – B (70–80 см) – Btca (80–100 см).

Слой 2 (100–170 см). Вса (100–150 см) и Cca (150–170 см). Суглинок легкий, лессовидный, палевый, пористый с карбонатными плотными конкрециями и псевдомицелием. Переход заметный. Граница трещиноватая.

Слой 3 (170–225 см). Брянская испокаемая почва с профилем A1–Вса–Bg. A1 (170–200 см) – суглинок светло-коричневый, средний, пористый, содержит псевдомицелий карбонатов, Fe-Mn-ортштейны. Нижняя граница в виде наклоненных к тальвегу палеобалки солифлюкционных складок. Вса (200–225 см) – суглинок легкий, сизовато-палевый, неоднородный с пятнами мучнистых карбонатов, сосредоточенными между пятнами оглеенного суглинка (гор. Bg). Последний содержит большое количество черных и бурых примазок и ортштейнов. Граница трещиноватая. Трещины шириной в верхней части 10–15 см проникают на глубину до 60 см, содержат палевый неоглеенный материал.

Слой 4 (225–235 см). Средневалдайская испокемая почва (монастырская) разбита трещинами, проникающими из слоя 3. Гор. A1 (слабо гумусированный коричневато-светло-серый суглинок) встречается в виде разорванных пятен, размером 5–10 см на расстоянии 30–50 см друг от друга.

Слой 5 (235–265 см). Делювий, образованный за счет переотложения иллювиального горизонта мезинского лессово-почвенного комплекса (Bt). Суглинок буровато-темно-палевый оoidной структуры с таблитчатостью, крупнопористый. Переход резкий по цвету и гранулометрическому составу. Граница ровная – эрозионный контакт, нарушена различными генерациями мелких трещин.

Слой 6 (265–299 см). Сильноэродированный мезинский лессово-почвенный комплекс. Сохранилась нижняя треть профиля с остатками гумусовых языков и нижней частью иллювиального горизонта.

Слой 6а. A1. Суглинок легкий коричневато-серый с небольшим количеством белесой присыпки, скрытозернистой структуры, наиболее гумусированный из всех гор. A1 погребенных

почв. Он сохранился внутри косм (трещин с множеством мелких прожилок), расположенных на расстоянии 120–150 см друг от друга. Гумусовые трещины приурочены к эрозионному контакту и заканчиваются в гор. Вт на глубине 30–40 см от верхней границы слоя б.

Слой бб. Вт (*in situ*). Опесчаниненный бурый суглинок нечетко выраженной ореховатой структуры. Отмечаются педы, покрытые глинистыми катенами и погруженные в неагрегированную массу.

Слой 7 (299–329 см). Балочный аллювий. Песок ржаво-бурый, слоистый за счет прослоев и линз грубозернистого красноватого и белесого песка.

Разрез 1–95(5)

Вскрывает наиболее глубокую часть погребенной депрессии. Здесь вследствие концентрации стока талых и ливневых вод по примыкающему к карьеру перекрестку дорог образовалась промоина, выходящая устьем в карьер. Голоценовая почва на месте расчистки смыта до гор. Вса.

Слой 1. Современная почва: А1 и АВ смыты. Восстановленная мощность около 100 см.

Слой 2. Вса (100–180 см), Сг (180–200 см), оглеенный сизовато-палевый суглинок. Нижняя граница нарушена крупной субвертикальной трещиной шириной в верхней части 20 см, заполненной палевым суглинком, проникающей на глубину 1 м и разбивающей обе ископаемые почвы.

Слой 3 (200–245 см). Брянская ископаемая почва. А1 (200–235 см), суглинок серовато-светло-коричневый, средний, пылеватый, мелкопористый, с оoidной микроструктурой, содержит железистые микроортштейны. Верхняя и нижняя границы слабоволнистые, солифлюкционные нарушения не отмечаются. Всаг (235–245 см), суглинок легкий, сизовато-палевый с обилием мучнистых карбонатов, оглеенный. Нижняя граница нарушена трещинами, заполненными плотными карбонатными конкрециями – журавчиками.

Слой 4 (245–300 см). Монастырская ископаемая почва. Алг (245–264 см), суглинок тяжелый, светло-коричневый с буроватым оттенком, с пятнами оглеения. Всаг (264–274 см), суглинок средний, буровато-палевый с пятнами мучнистых карбонатов. Вг (274–300 см), суглинок опесчаниненный, палево-сизый, неоднородный за счет включений пятен бурого и голубого суглинка размером 35 см и обилия микроортштейнов.

Слой 4а (300–320 см). Суглинок тяжелый опесчаниненный, сизый с палевым оттенком, с пятнами ржавого ожелезнения.

Слой 5 (320–330 см). Переотложенный материал гор. Вт мезинского лесово-почвенного комплекса. Суглинок ярко-бурый с горизонтальной слоистостью, тяжелый, опесчаниненный, оoidной микроструктуры, постепенно переходит в ненарушенный иллювиальный горизонт.

Слой 6б (330–355 см). Вт мезинского комплекса (*in situ*), ярко-бурый суглинок с мелко-ореховатой структурой и постшлировой текстурой, характерной для нижней части иллювиального горизонта почв микулинского межледникова.

Слой 7. Слоистый балочный аллювий.

Гумусовые языки из низов гор. А1 мезинского комплекса в этом разрезе не обнаружены. Здесь вскрываются две средневалдайские почвы, сходные по облику: верхняя – брянская дерново-карбонатная, нижняя – монастырская дерново-карбонатно-глеевая. Был определен радиоуглеродный возраст средневалдайских палеопочв. Для нижней почвы он составил 29100 ± 340 лет назад, для верхней – 24400 ± 700 лет назад (Ки-8475).

Сводная стратиграфическая схема четвертичных отложений (таблица)

Слой 1. Голоценовая почва – темно-серая лесная с профилем А1–А1А2Вт–Вт (в расчистках 2–3) и выщелоченный чернозем с профилем А1–АВ–Вт–Втса (в расчистках 4–5).

Слой 2. Поздневалдайский лёссовидный суглинок, в верхней части преобразованный в карбонатный горизонт современной почвы. Он представлен на всех стенках карьера.

Слой 2¹. То же, более однородный, иногда оглеенный и менее карбонатный, представлен в чистом виде в расчистках 3–5.

Слой 3¹. Послебрянский солифлюксий отмечен на перегибе древнего склона, в расчистке 3.

Слой 3. Брянская ископаемая почва – наиболее стратиграфически выдержаный уровень, встречен во всех расчистках. Хотя яркий диагностический признак почвы – клиновидная мерзлотная нижняя граница гор. А1 отсутствует, положение почвы в разрезе, строение

Сводная схема строения четвертичных отложений в карьере у с. Монастырщина

Номер слоя	Отложения, почвы	Разрезы	Возраст	OIS ²
1	Почвы: темно-серая лесная: A1–A1A2Bt–Bt, выщелоченный чернозем: A1–AB–Bt–Bca	1–3 4–5	Голоценовый	1
2	Лессовидный суглинок, преобразованный в Bca	1–5	Поздневалдайский	2
2 ¹	То же, оглеенный и менее карбонатный	3–5	Поздневалдайский	2
3 ^{–1}	Солифлюкский	3	Послебрянский	2
3	Брянская испасаемая почва. A1–Bca	1–5	24400±700 лет назад	3
3 ¹	Солифлюкский	4, 5	Добрянский	3
4	Монастырская испасаемая почва. A1g–Bcag–Bg	4, 5	29100±340 лет назад	3
5	Делювий (Bt)	4, 5	Ранневалдайский	4
6	Мезинский лессово-почвенный комплекс: A1–Bt–BC	4, 5	Микулинско-ранневалдайский	5a–c
6a	Гор. A1 крутицкой почвы	4	Ранневалдайский	5a–d
6b	Гор. Bt (<i>in situ</i>) салынской почвы (материнская порода сформирована в московское позднеледниковые)	4, 5	Микулинское межледниковые	5e
7	Склоново-балочные отложения	1–5	Раннемикулинско-позднеледниковый	5e
7 ¹	Балочный слоистый аллювий	5	Раннемикулинско-позднеледниковый	5e
8	Флювиогляциальном-склоновые пески	1–6	Позднемосковский	6
9	Перигляциальный аллювий – переслаивание тонкозернистых песков и глин	1–6	Московский	6

² Морская кислородно-изотопная стадия.

профиля и C¹⁴-дата – 24400±700 лет назад (Ki-8475) несомненно позволяют отнести время ее формирования к брянскому интерстадиалу [9–11].

Слой 4. Монастырская испасаемая почва, также средневалдайская, относится к брянскому интерстадиалу, сохранилась в сниженной части депрессии, в расчистке 5. Фрагментарно гор. A1 отмечается выше по склону, в расчистке 4. Ее следы есть и в расчистке 3. По сравнению с брянской верхней почвой она более оглеенная, с профилем A1g–Bcag–Bg. Ее радиоуглеродный возраст 29100±340 лет назад.

Слой 5. Делювий (Bt), образованный за счет переотложения иллювиального горизонта мезинского лессово-почвенного комплекса, отмечен в расчистках 4 и 5.

Слой 6. Мезинский лессово-почвенный комплекс представлен в сильно эродированном виде: от профиля A1–A1E1(E1)–Bt осталась только нижняя треть: гор. Bt и BC.

Слой 6a. Гор. A1 сохранился в виде нижних частей гумусовых трещин – косм, являющихся диагностическим признаком почв крутицкой (ранневалдайской) фазы мезинского комплекса [9–11]. Он обнаружен только в расчистке 4.

Слой 6b. Гор. Bt (*in situ*) – наиболее яркий из диагностических горизонтов почв салынской фазы мезинского комплекса, относящихся к микулинскому межледниковою [9, 10]. Он сохранился на сниженной поверхности погребенного склона, в расчистках 5 и 4.

Слой 7. Склоново-балочные отложения в сниженной части депрессии фациально замещаются балочным слоистым аллювием.

Слой 8. Флювиогляциальное-склоновые пески. В понижении в процессе формирования вреза они преобразованы в базальный горизонт.

Слой 9. Перигляциальный аллювий.

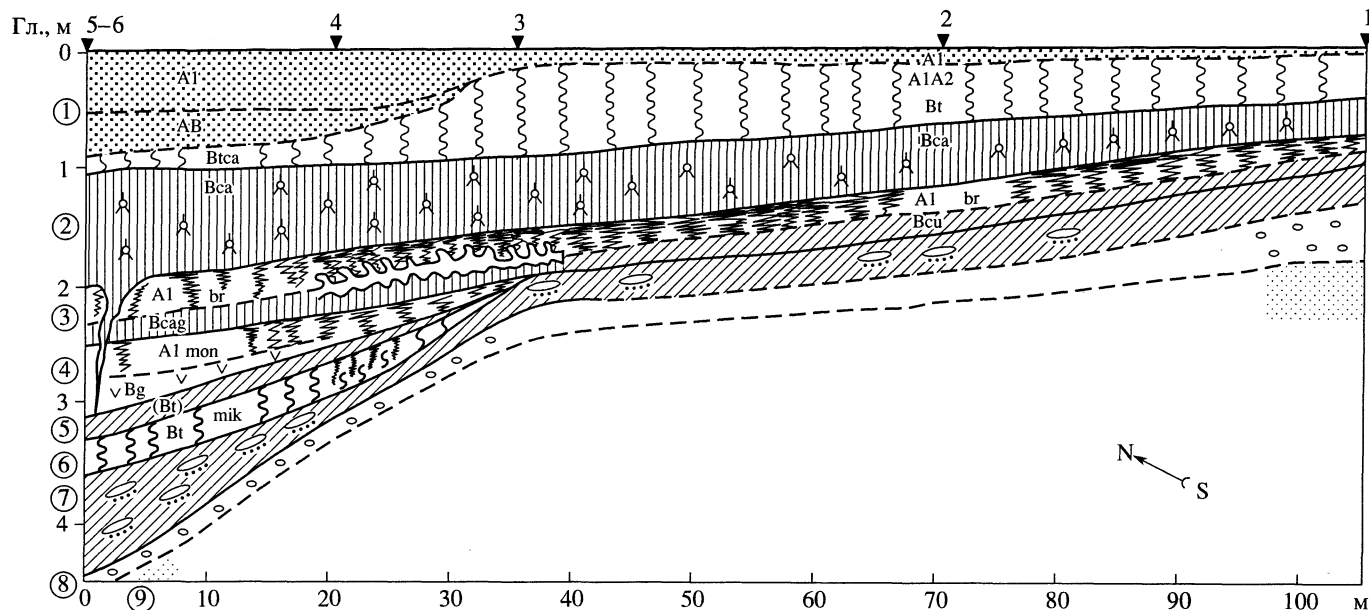


Рис. 2. Реконструированный фрагмент поргебенного склона Условные обозначения см. рис. 1. В кружках – номера слоев

Поперечный профиль погребенного вреза

Строение четвертичных отложений карьера у с. Монастырщина сильно варьирует в пространстве, отражая поперечный профиль палеодепрессии (рис. 1, 2). Нами были выделены три толщи: нижняя (слои 9–7) – песчаная аллювиально-флювиогляциальном склонового генезиса, прослеживаемая в виде различных фаций по всему карьеру; средняя (слои 6–3) – супесчано-суглинистая, почвенно-солифлюкционно-делювиального генезиса, меняющаяся по падению палеослона, и верхняя (слои 2, 1) – суглинистая, лессово-почвенная, поздневалдайско-голоценовая. Наиболее сложное строение отмечается в приводораздельной части карьера, наиболее простое (выпадают слои 6–4) – в придолинной московско-днепровского возраста. Он перекрыт склоновыми песчаными отложениями (слой 8), содержащими гравий и гальку не только местных осадочных, но и эрратических пород. Преобразование песчаной толщи произошло в конце московского оледенения при расчленении рельефа и формировании балочного склона. Следовательно, врез был заложен в московское позднеледниковые и окончательно приобрел вид балочного склона в микулинское межледниковые. Его возраст подтверждается также хорошо узнаваемой салынской лесной почвой мезинского лессово-почвенного комплекса, относящейся к микулинскому межледниковью.

Эволюционный анализ погребенной формы

Сохранился только фрагмент микулинского балочного склона, начиная от бровки балки (расчистки 4–5) (рис. 2). Днище балки, по-видимому, полностью не вскрыто. Участок погребенного склона прослеживается по остаткам горизонта Вt микулинской почвы (слой 6б), развитого в сниженной части депрессии на флювиогляциальном склоновых песках (слой 7), и по иному строению ее заполнения по сравнению с вмещающими породами. В микулинское межледниковые, когда были благоприятны условия для развития растительного и почвенного покрова, рельеф стабилизировался, аккумулятивно-денудационные процессы замедлились, и на балочном склоне сформировалась лесная почва (слой 6б). Почво-образование, вероятно, преобладало над склоновыми процессами и в ранневалдайские интерстадиалы – время формирования крутицкой почвы мезинского комплекса, к которой относятся характерные гумусовые трещины – космы (слой 6а).

В ранне-, средневалдайские стадиалы солифлюкционными процессами был полностью уничтожен мезинский лессово-почвенный комплекс на прибалочном склоне и частично на балочном склоне. Его фрагмент, вполне узнаваемый по ярким диагностическим чертам, сохранился на прибровочной части палеослона вследствие его быстрого захоронения под солифлюкционными отложениями, образованными из материала гор. Вt (слой 5). Эти процессы были настолько сильны, что полностью уничтожили следы микулинского почвообразования на возведенной части склона и периодически возобновлялись в ранне- и средневалдайские походления вплоть до брянского интерстадиала.

В средневалдайские интерстадиалы склоновые процессы замедлились, и на частично выровненном склоне московско-микулинской балки сформировались ископаемые почвы: монастырская (нижняя) и брянская (верхняя). Полученные датировки по препаратам гуминовых кислот для горизонтов А1 верхней и нижней почв попадают фактически в один диапазон радиоуглеродных определений, характерных для последнего из средневалдайских (брянского, дунаевского, денекамп, штильфрид В и т.д.) интерстадиалов (33–24 тыс. лет назад) [12]. На балочных и долинных склонах в разрезах позднепалеолитических стоянок, например Костенки, Молодово V, присутствуют два гумусовых горизонта двух сближенных почв [13]. Во время походления, разделявшего два средневалдайских интерстадиала, вновь возобновились солифлюкционные процессы, свидетельствующие не только о значительном понижении зимних температур, но и повышенном увлажнении. Отмечаются два уровня солифлюкционных деформаций – добрянский и послебрянский.

Склон, унаследованный от московско-микулинского, продолжал существовать и в брянский интерстадиал. Это подтверждается катеной – сочетанием почв по пологому склону неглубокой депрессии (ее глубина в то время была около 1 м). На наиболее возвышенном участке – в элювиальном секторе катены (расчистки 1, 2), развиты дерново-карбонатные почвы на песках с профилем А1–Вса. В средней части склона (в транзитном секторе катены) – мерзлотно-карбонатные почвы с солифлюкционными складками. В понижении (в аккумулятивном секторе катены) – дерново-карбонатные оглеенные почвы с профилем А1–В–Всаг.

Сохранение брянской почвы на всем протяжении склона все еще существовавшей, хотя и полузаполненной депрессии, стало возможным благодаря достаточно быстрому ее погребе-

нию без размыва в основном за счет эоловых процессов. Это подтверждается сохранением полного профиля почвы, сформированного на песках слоя 7 на возвышенной части склона.

Депрессия перекрыта поздневалдайскими лессовидными суглинками (слой 2). О возрастной сировости природных условий в послебрянское время свидетельствуют не только интенсивное эоловое осадконакопление, но и крупная криогенная трещина (грунтовая жила). Она начинается от подошвы поздневалдайских лессов и разбивает средневалдайские почвы в сниженной и более увлажненной части склона. Вероятно, образование трещины произошло уже после максимума валдайского оледенения. В тот же период древний московско-микулинский врез был полностью погребен под двухметровой толщей поздневалдайских лессов (разрез 5).

Унаследованность древнего вреза в структуре современного почвенного покрова

Простиранье долинного склона р. Непрядва противоположно погребенному врезу. Его формирование приходится на новый эрозионный поздневалдайско-голоценовый цикл. Начало образования склона, вероятно, связано с заложением ложа высокой поймы реки в валдайское позднеледниково или несколько ранее. Это подтверждается радиоуглеродными датировками по углю из верхней части русловых фаций аллювия в основании высокой поймы Дона: 12300 ± 100 (Ki-5206) и 12050 ± 100 (Ki-5207), и Непрядвы: 11500 ± 260 лет назад (Ki-5533) [14]. В этот интервал попадает также новая дата по раковинам моллюсков из нижней части старичной фации аллювия высокой поймы Непрядвы – 12100 ± 170 лет назад (Ki-8209). Долинный склон р. Непрядва южной экспозиции сформировался в результате интенсивных денудационных процессов (плоскостной эрозии, солифлюкции, возможно, дефляции), которым способствовали контрастные условия позднеледниково [12, 14].

Благодаря неравномерному сноса мелкозема резкая смена гранулометрического состава почвообразующих пород (суглиники сменяются песками) наблюдается на разной глубине от дневной поверхности. Это обусловило развитие контрастных по генезису и строению почв: темно-лесных и выщелоченных черноземов – характерного сочетания для северной лесостепи, на расстоянии всего 10 м (разрезы 4 и 3).

Смена пород в пределах корнеобитаемого слоя (второго метра от поверхности) способствует накоплению дополнительной капиллярно подтвержденной влаги на границе слоев, столь необходимой для произрастания лесной растительности в особо засушливые периоды [15]. В расчистках 4 и 5 смена пород происходит слишком глубоко (в настоящее время ниже 3.0–3.5 м). Дополнительная капиллярная влага, накапливаемая на смене наносов, по-видимому, была недосягаема для древесных корней, и здесь серые лесные почвы не формировались. Под травянистой растительностью, более устойчивой к засушливым условиям, характерным для лесостепи, получили развитие выщелоченные черноземы (разрезы 4, 5). Таким образом, палеоформа предыдущего московско-микулинско-валдайского климато-эрзационного цикла косвенно нашла отражение в структуре современного почвенного покрова лесостепи.

Выводы

1. Уточнена стратиграфическая схема строения позднеплейстоценовых отложений Среднерусской возвышенности (таблица). Выделены не одна, а две средневалдайские ископаемые почвы: нижняя, более древняя – монастырская и верхняя, собственно брянская.

2. Реконструировано строение и восстановлена история развития микулинского палеосклона в течение завершенного позднемосковско-микулинско-ранневалдайского эрозионного цикла. Микулинская депрессия была заложена в московское позднеледниково. Тогда же и в раннемикулинское время она была частично заполнена продуктами склоновой и овражной эрозии. В микулинское межледниково эрозионные процессы подавлялись почвенными процессами, в результате которых на склоне образовались почвы лесного генезиса (сохранилась только нижняя часть профиля). В ранневалдайские интерстадиалы формировались лугово-черноземовидные почвы (остатки гор. A1 крутицкой почвы). Наиболее интенсивные рельефообразующие процессы: плоскостная эрозия, а затем солифлюкция, вызвавшие уничтожение мезинского комплекса на водоразделах и прибалочных склонах и накопление его педосedimentов в депрессии, протекали в похолодание, последовавшее за ранневалдайскими

интерстадиалами (стадия 4 по кислородно-изотопной кривой – OIS). В результате глубина депрессии уменьшилась, но она еще сохранилась в рельефе. Вероятно, это была уже ложбина. Дважды в средневалдайские интерстадиалы на ее склонах формировались почвы, образуя катены, и дважды в средневалдайские стадиалы в депрессии аккумулировался солифлюксий. Окончательное погребение палеодепрессии произошло только в поздневалдайское время в основном за счет золового осадконакопления без заметного участия флювиальных процессов. Московско-микулинско-валдайский эрозионный цикл закончился. Депрессия была полностью заполнена осадками и погребена.

3. Показано опосредованное влияние (через повышенное осадконакопление) погребенного палеорельефа на структуру современного почвенного покрова. Причем над днищем погребенной депрессии развиты черноземы, на древнем прибалочном склоне – темно-серые лесные почвы.

СПИСОК ЛИТЕРАТУРЫ

1. Ильин Р.С. Происхождение лессов. М.: Наука, 236 с.
2. Тимофеев Д.А. Геоморфологические и палеогеографические аспекты проблемы эрозии почв // Геоморфология. 1988. № 2. С. 14–28.
3. Козменко А.С. Борьба с эрозией почвы на сельскохозяйственных угодьях. М.: Сельхозиздат, 1963. 208 с.
4. Скоморохов А.И. К развитию форм овражно-балочного рельефа // Изв. АН СССР. Сер. геогр. 1981. № 5. С. 114–121.
5. Скоморохов А.И. Флювиальный процесс и динамика водоразделов // Геоморфология. 1992. № 2. С. 28–36.
6. Сычева С.А. Эволюционный анализ плейстоценовых погребенных малых эрозионных форм // Геоморфология. 1996. № 3. С. 27–38.
7. Бутаков Г.П. Плейстоценовый перигляциал на востоке Русской равнины. Казань: Изд-во КазГУ, 1986. 144 с.
8. Величко А.А., Грибченко Ю.Н., Губоина З.П. и др. Основные черты строения лессово-почвенной формации // Лессово-почвенная формация Восточно-Европейской равнины. Палеогеография и стратиграфия. М.: ИГРАН, 1997. С. 5–24.
9. Морозова Т.Д. Развитие почвенного покрова Европы в позднем плейстоцене. М.: Наука, 1981. 282 с.
10. Сычева С.А. Эволюция позднеплейстоценовых катен Среднерусской возвышенности в полном климатическом ритме "оледенение–межледниковые" // Почвоведение. 1994. № 10. С. 30–40.
11. Сычева С.А. Эволюция балочной системы в климатическом ритме "оледенение–межледниковые" // Геоморфология. 1997. № 2. С. 100–111.
12. Палеогеографическая основа современных ландшафтов. М.: Наука, 1994. 205 с.
13. Иванова И.К., Любич В.П., Праслов Н.Д. Геология палеолита Восточной Европы (ископаемый человек и следы его деятельности как элементы стратиграфии) // Бюл. Комиссии по изучению четвертичного периода. 1989. № 58. С. 49–56.
14. Сычева С.А., Гласко М.П., Маркова А.К. Многовековой ритм развития ландшафтов в голоцене и место Куликовской битвы в его структуре // Изучение историко-культурного и природного наследия Куликова поля. М. – Тула: Изд. ГВИ и ПМЗ "Куликово Поле", 1999. 141 с.
15. Сурмач Г.П. Рельефообразование, формирование лесостепи, современная эрозия и противоэрзионные мероприятия. Волгоград: Волгогр. кн. изд-во, 1992. 174 с.

Институт географии РАН

Поступила в редакцию

02.03.2001

RECONSTRUCTION OF THE DEVELOPMENT STAGES OF MIKULIN PALEOSLOPE (THE UPPER DON BASIN)

S.A. SYCHEVA

S u m m a r y

The structure of quaternary deposits of the III fluvial terrace above flood-plain of Upper Don and Nepryadva river (northern part of Middle-Russian highland) was studied. The eroded Mezinian loess-soil complex overlies the periglacial alluvium and slope-balka deposits. Two Middle-Valdai soils (Monastyrskaya and Bryanskaya) have been distinguished in the upper loess part of the section. Their C¹⁴ dating are 29100±340 BP and 24400±700 BP. The history of buried paleoslope evolution was reconstructed. It underwent the whole Late Moscow-Mikulino-Early Valdai erosion cycle. Paleoslope does not manifest in the recent relief, but the structure of recent soil cover derives from it.